

土圧合力の着力点の挙動

名古屋大学工学部 正員 市原 松平
“ ” 学生員 ○松永 宏

1. 考え方 壁体が連続的に変位すると、壁背面に沿う土圧分布の様相は次第に変化する。この間に裏込め砂はせん断変形を起こし、ついには破壊していく。この過程において、土圧特性と裏込め砂のせん断特性の関連性を調べることは土圧の基本的性質を知るために最も重要な問題の一つである。以下、土圧分布性状の変化を代表している土圧合力の着力点の挙動を裏込め砂のダイレイタシーネル結びについて考察する。

2. 土圧特性 大型振動砂槽を用いた土圧の計測については既に発表した。ここでは裏込め砂に密閉気乾の豊浦標準砂を用いて、無振動時のものでの土圧特性をのべる。写真1は壁変位中に割離した土圧合力の水平成分(P_1, P_2)、鉛直成分(P_3)、裏込めのすべり土槽内に埋設した2つの土圧計の下から壁変位の記録と示す。3つの荷重計(P_1, P_2, P_3)と2つの土圧計の設置位置を図1に示す。写真1から、壁が変位すると、 P_1, P_2 と土圧A, Bは減少して一定値に下り、 P_3 は壁が変位すると増加して最大値に下り、壁がさらに変位すると減少することがわかる。注目すべきことは壁変位中の荷重計と土圧Aの変化の様相が、また P_2 と土圧Bの変化の様相が類似していることである。すなはち、 P_1 は壁体上部K、 P_2 は下部に作用する土圧特性を忠実に表現している。荷重計、土圧の記録とともに壁の剛性から各壁変位の位置における土圧要素(土圧合力、土圧合力の着力点、壁摩擦係数)を求めて壁の平均変位量に対する示したもののが図2である。図中、 K は土圧係数、 h/H は着力点より壁高H($H=55\text{cm}$)で除して相対着力点、 $\tan \delta$ は壁摩擦係数である。静的時の土圧・塑性平衡状態において、土圧は水圧分布を呈し、壁摩擦角は最大である。それゆえ、図2において土圧が塑性平衡状態へ移行する壁変位の位置は h/H が2度目で $h/H=0.33$ に下り、しかも $\tan \delta$ が最大に下り、この $h/H=0.25$ の位置である。すなはち、壁が変位しても h/H が最初の0.33よりも小さい土圧は静止土圧である。

3. 裏込め砂のせん断特性 裏込め砂は壁体延長方向の変形拘束され平面ひずみ状態に付けている。上述の土圧実験と同一の砂の平面ひずみ三軸圧縮試験を行つと、応力-軸ひずみ曲線と体積変化-軸ひずみ曲線は図3のようになる。図3は

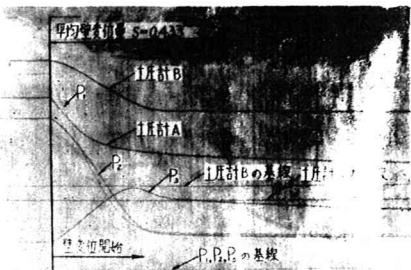
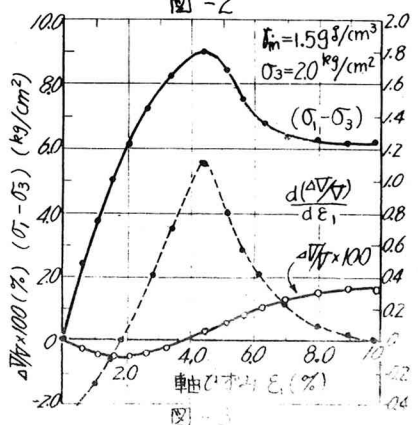
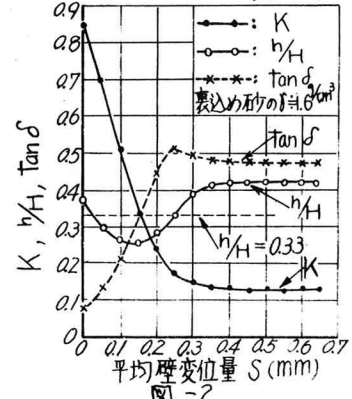
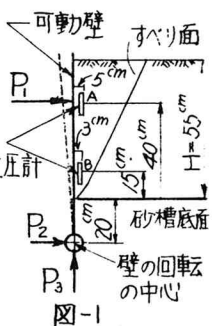


写真-1



体積ひずみ～軸ひずみ曲線の接線勾配 $\frac{d(\Delta V)}{d\varepsilon_1}$ の変化を示してある。いま、この圧縮試験における最大抵抗時(破壊時)と $\frac{d(\Delta V)}{d\varepsilon_1}$ が最大になるときの軸ひずみ量に着目すると、これは図4に示すように、両者はよく合致している。すなはち、 $\frac{d(\Delta V)}{d\varepsilon_1}$ は破壊時に最大値となる。一方初期単位体積重量が 1.59 g/cm^3 のとき内部摩擦角は $44^\circ 30'$ 、最大密度状態に發揮されたときの摩擦抵抗角は $28^\circ \sim 29^\circ$ であった。

4. 着力点の挙動 図2に示したように土圧合力の着力点は壁が変位はじめると下降はじめり、壁が $S=0.15 \text{ mm}$ 程度変位するとその後の変位に対して上昇はじめめる。いま、壁変位中ににおける着力点の変化を示す曲線の接線勾配 $\frac{d(\Delta F)}{dS}$ を各壁変位の位置で求め、壁変位量に対して図示すると $\frac{d(\Delta F)}{dS}$ は図5の実線で示すように変化する。図6には土圧が塑性平衡状態に達する壁変位量と $\frac{d(\Delta F)}{dS}$ が最大になる壁変位量の関係を示しておるが、両者はよく合致している。図5、図6から、着力点の変化をあらわす曲線はせん断における体積ひずみ～軸ひずみ曲線ときわめて似た性質があるといえる。

ここで図5の着力点をあらわす曲線と図3の体積ひずみを示す曲線の関連を調べるために、静止土圧時、 $h/H = \min$ 時、塑性平衡状態、塑性平衡状態をすぎて h/H が一定にならないときにかかるKと裏込め砂に發揮されたときの摩擦抵抗角(Coulomb 土圧を満足する)の関係を示すと図7がえられる。図にはせん断において、土圧の静止土圧状態に相当する(K, ϕ)と最大密度状態、破壊時、破壊後に応力が一定になるときの(ϕ_{\max}, ϕ)を示してある。図示しているとおり、土圧とせん断で変形を生ぜはじめながら極限状態までは(K, ϕ)と(ϕ_{\max}, ϕ)はその経路においてまったく合致し、とくに土圧における $h/H = \min$ 時と塑性平衡時の(K, ϕ)がせん断における最大密度時と破壊時の(ϕ_{\max}, ϕ)と一致して二とは特筆すべきである。このことは、土圧とせん断におけるせん断機構に関する議論の余地はないが、土圧合力の着力点の挙動には裏込め砂のダイレクタンシーの様相を

如実に反映しているものと考える。なお、土圧が塑性平衡状態を過ぎてから以後の上昇は土圧の再配分にようると考えられる。

[参考文献]

- 1) 市原、松沢、渡辺、菱田“地震時にかけた土圧算定の一提案”災害科学シンポジウム講演集、P.59、名古屋、1969
- 2) 市原、松沢、渡辺“平面ひずみ状態における砂のせん断特性に関する研究”第24回土木学会年次学術講演集、pp.11~14、東京、1969.

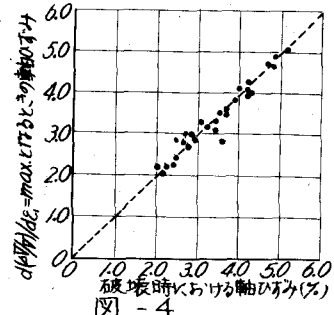


図-4

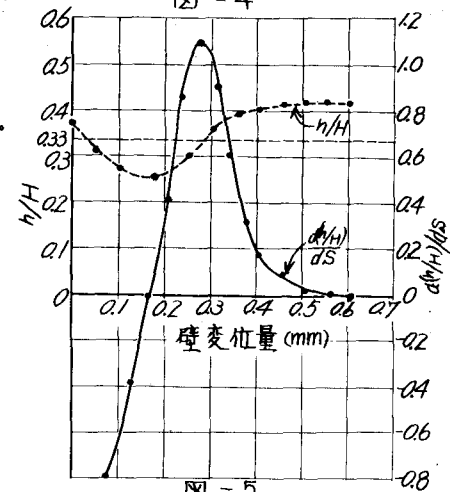


図-5

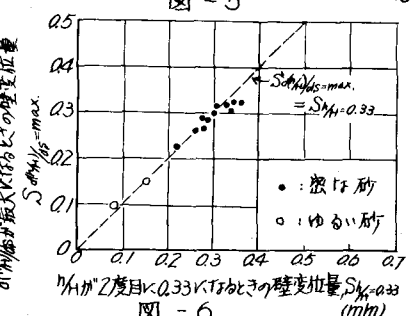
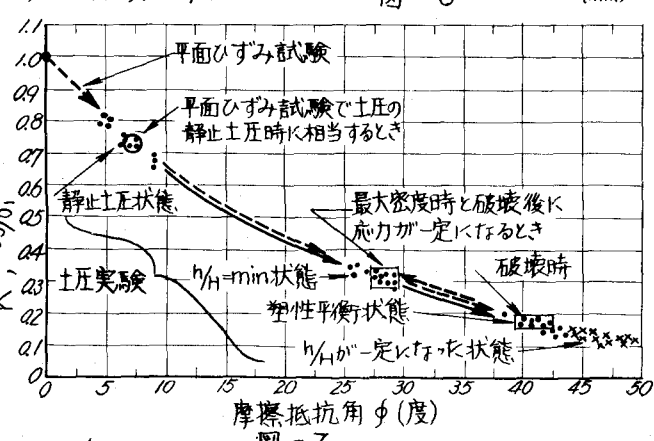


図-6



- 4 -

図-7